

0.1 Problém dvou těles

Oč nám jde v problému dvou těles? Vypočítat tři Keplerovy zákony pro pohyb planet ze čtyř Newtonových zákonů pro pohyb a gravitaci. Souvislost je sice všeobecně známá, ale skutečný výpočet není zcela přímočarý, zabere nám asi 10 stran. Nejprve si příslušné zákony připomeneme.

0.1.1 Newtonovy a Keplerovy zákony

Newtonovy *pohybové* zákony zní:

- Existují inerciální¹ vztažné soustavy, v nichž se volně² hmotné body pohybují rovnoměrně přímočaře nebo jsou v klidu;
- působím-li silou \mathbf{F} na těleso o hmotnosti m , jeho zrychlení je:

$$\mathbf{a} = \frac{\mathbf{F}}{m_{\text{setrvačná}}}; \quad (1)$$

- když těleso 1 působí silou na těleso 2, pak 2 působí na 1 reakcí:

$$\mathbf{F}_{21} = -\mathbf{F}_{12}. \quad (2)$$

Podle Newtonova *gravitačního* zákona hmotný bod 1 působí na hmotný bod 2 gravitační silou:

$$\mathbf{F}_{12} = -G \frac{m_1 m_2 \text{ gravitační } \mathbf{r}_{12}}{r^2}. \quad (3)$$

Měřením byla zjištěna gravitační konstanta $G = (6,6743 \pm 0,0007) \text{ N} \cdot \text{kg}^{-2} \cdot \text{m}^2$ [134]. Pozoruhodné je, že v našem vesmíru platí rovnost $m_{\text{gravitační}} = m_{\text{setrvačná}}$, alespoň to potvrzují měření až do úrovně relativní chyby 10^{-9} .³ V souvislosti se skoro kulatými planetami se nám také velmi hodí, že gravitační pole *vně homogenní koule* o hmotnosti M je stejné jako okolo hmotného bodu o hmotnosti M .

¹ Tyto soustavy souvisejí spolu *Galileiho transformací* souřadnic $\mathbf{r}' = \mathbf{r} - \mathbf{v}t$, kde \mathbf{v} označuje jejich vzájemnou rychlost a t čas.

² Nepůsobí na ně jiné síly než gravitace vzdálených hmot.

³ To je ostatně důvod, proč může být v obecné teorii relativity nahlížena gravitace jako *křivost prostoročasu* — zrychlení tělesa

$$\mathbf{a}_{12} = \frac{\mathbf{F}_{12}}{m_1} = -G \frac{m_2}{r^2} \frac{\mathbf{r}_{12}}{r}$$

totiž nezávisí na tělese samém (není tam m_1), ale na rozložení hmot okolo.

Toto bychom ověřili integrací příspěvků v objemu koule „přes prstýnky“ sousedě s \mathbf{r} (viz obr. 1): $\Delta = \mathbf{r} - \mathbf{r}'$, $\Delta^2 = r^2 - 2rr' \cos \phi + r'^2$ (dle kosínové věty). Jednodušší je použít skalární potenciál U místo vektorové síly $\mathbf{F} = \nabla U$:

$$U = \int_{\text{kouli}} -\frac{G dm}{\Delta} = -G \int_V \frac{\rho dV}{\Delta} = -G \int_{r'=0}^R \int_{\phi=0}^{\pi} \frac{\rho(r')}{\Delta} \overbrace{2\pi r' \sin \phi}^{\text{obvod}} r' d\phi dr'.$$

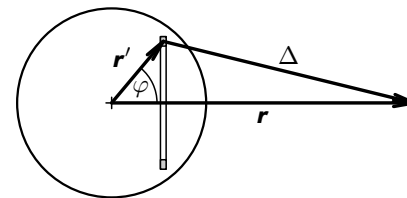
Trik: $d\phi$ vyjádřím z $\Delta = (r^2 - 2rr' \cos \phi + r'^2)^{\frac{1}{2}}$ a zaměním integrační meze $(0, \pi)$ za $(r - r', r + r')$.

$$\frac{d\Delta}{d\phi} = \frac{1}{2}(r^2 - 2rr' \cos \phi + r'^2)^{-\frac{1}{2}}(-2rr')(-\sin \phi) = \frac{rr' \sin \phi}{\Delta},$$

odkud $d\phi = \frac{\Delta}{rr' \sin \phi} d\Delta$ a:

$$\begin{aligned} U &= -G \int_0^R \int_{r-r'}^{r+r'} \frac{\rho(r')}{\Delta} 2\pi r' \sin \phi \frac{\Delta}{rr' \sin \phi} d\Delta dr' = -\frac{2\pi G}{r} \int_0^R \int_{r-r'}^{r+r'} \rho(r') r' d\Delta dr' \\ &= -\frac{2\pi G}{r} \int_0^R \rho(r') r' 2r' dr' = -\frac{G}{r} \int_0^R \overbrace{4\pi r'^2 \rho(r')}^{\text{celková hmotnost}} dr' = -\frac{GM}{r}, \end{aligned}$$

tj. přesně jako hmotný bod.



Obr. 1 — Vektory \mathbf{r} , \mathbf{r}' , Δ , koule a prstýnky.

Nakonec uvedeme empirické *Keplerovy zákony*:

- planety se pohybují po elipsách, přičemž všechny mají společné ohnisko \odot ;
- planeta za stejnou dobu opíše průvodičem stejné plochy;
- mezi velkými poloosami a a oběžnými periodami⁴ T planet platí $\frac{a^3}{T^2} =$ společné konstantě (tento zákon ale neplatí zcela přesně).

⁴ Pozorovat mohou spíše *synodickou* dobu oběhu, potřebují převod $T_{\text{synodická}} \rightarrow T_{\text{siderická}}$. Mezi dvěma opozicemi, které se opakují po T_{syn} , urazí vnitřní planeta úhel $2\pi + \phi$ a vnější pouze ϕ (obr. 2). Pro jejich úhlové rychlosti platí $\omega_1 = \frac{2\pi}{T_{\text{sid1}}}$, $\omega_2 = \frac{2\pi}{T_{\text{sid2}}}$, $\omega_1 T_{\text{syn}} = 2\pi + \phi$,

0.1.2 Problém dvou těles

Zavedeme inerciální soustavu souřadnic, vektor $\mathbf{r} = \mathbf{r}_2 - \mathbf{r}_1$ (obr. 3), a napíšeme pohybové rovnice pro těleso 1 a 2, přičemž využijeme *všechny* Newtonovy zákony:⁵

$$\mathbf{F}_1 = +G \frac{m_1 m_2}{r^3} \mathbf{r} = m_1 \ddot{\mathbf{r}}_1, \quad (5)$$

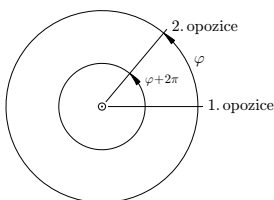
$$\mathbf{F}_2 = -G \frac{m_1 m_2}{r^3} \mathbf{r} = m_2 \ddot{\mathbf{r}}_2. \quad (6)$$

Jedná se o soustavu dvou obyčejných diferenciálních rovnic druhého řádu. Pokud se nám je podaří vyřešit, budeme znát polohy a rychlosti obou těles. Hledáme tedy *celkem 12 neznámých skalárních funkcí času* (neboli 4 vektorové): $\mathbf{r}_1(t)$, $\dot{\mathbf{r}}_1(t)$, $\mathbf{r}_2(t)$, $\dot{\mathbf{r}}_2(t)$. Při řešení použijeme tři triky [85]:

1. budeme studovat *relativní* pohyb, nikoli přímo \mathbf{r}_1 , \mathbf{r}_2 ;
2. nejprve najdeme *tvar* trajektorie $r(\phi)$, nikoli $\mathbf{r}(t)$;

$\omega_2 T_{\text{syn}} = \phi$; odtud:

$$\frac{1}{T_{\text{sid1}}} = \frac{1}{T_{\text{syn}}} + \frac{1}{T_{\text{sid2}}} \quad (4)$$



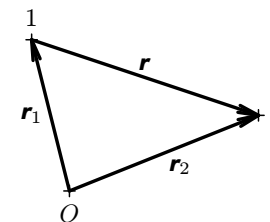
Obr. 2 — Dvě planety obíhající po kruhových drahách ve dvou po sobě následujících opozicích.

⁵ Poznámka o derivacích pro ty, kteří o nich ještě neslyšeli: sklon tečny ke grafu funkce $\text{tg } \alpha = \frac{\Delta y}{\Delta x}$ popisuje „jak moc se funkce mění“; *derivace* funkce $y(x)$ v bodě x_0 je definována jako limita:

$$y' \equiv \frac{dy}{dx} \equiv \lim_{\Delta x \rightarrow 0} \frac{y(x_0 + \Delta x) - y(x_0)}{\Delta x}.$$

Příkladem první derivace souřadnic podle času je okamžitá rychlost ($\mathbf{v} \equiv \frac{d\mathbf{r}}{dt}$, označuje se též $\dot{\mathbf{r}}$); zrychlení je první derivace rychlosti nebo též druhá derivace souřadnic ($\mathbf{a} \equiv \frac{d\mathbf{v}}{dt} \equiv \dot{\mathbf{v}} = \frac{d^2\mathbf{r}}{dt^2} \equiv \ddot{\mathbf{r}}$). Uvedme derivace některých elementárních funkcí: $C' = 0$, $x' = 1$, $ax' = a$, $(x^n)' = nx^{n-1}$, $(\sin x)' = \cos x$, $(\cos x)' = -\sin x$. Derivace součtu $(f + g)' = f' + g'$, součinu $(f \cdot g)' = f'g + fg'$, složené funkce $(f(g(x)))' = f'(g(x))g'(x)$. Opačným úkolem k derivování je hledání *primitivní funkce* (neboli integrování).

3. použijeme přitom *substituci* za $\frac{1}{r}$.



Obr. 3 — Polohové vektory \mathbf{r}_1 , \mathbf{r}_2 , \mathbf{r} pro tělesa 1 a 2.

0.1.3 Pohyb hmotného středu (prvních 6 integrálů)

Snadno najdu prvních 6 integrálů pohybu (celkem jich je 10), které úlohu podstatně zjednoduší (hypoteticky, kdybych našel 12 *prvních* integrálů, tělesa by „trčela“ na místě nebo se pohybovala rovnoměrně přímočaře). Součet rovnic (5) a (6) je:

$$m_1 \ddot{\mathbf{r}}_1 + m_2 \ddot{\mathbf{r}}_2 = \mathbf{0},$$

První neurčitý integrál:

$$m_1 \dot{\mathbf{r}}_1 + m_2 \dot{\mathbf{r}}_2 = \mathbf{a},$$

a druhý:

$$m_1 \mathbf{r}_1 + m_2 \mathbf{r}_2 = \mathbf{a}t + \mathbf{b}, \quad (7)$$

kde \mathbf{a} , \mathbf{b} jsou konstantní vektory (ony integrály pohybu; protože \mathbf{b} je až druhý integrál, vyskytují se zde konstantní rychlosti, neboli lineární závislost souřadnic na čase). To znamená, že *hmotný střed* $\mathbf{T} = \frac{m_1 \mathbf{r}_1 + m_2 \mathbf{r}_2}{m_1 + m_2}$ soustavy je buď v klidu, nebo se pohybuje rovnoměrně přímočaře.⁶

0.1.4 Rovnice relativního pohybu (3 integrály momentu hybnosti)

Nyní vyšetříme relativní pohyb m_2 vzhledem k m_1 — odečteme (6) od (5) (přejdeme do *neinerciální* souřadnicové soustavy):

$$\begin{aligned} \ddot{\mathbf{r}} &= \ddot{\mathbf{r}}_2 - \ddot{\mathbf{r}}_1 = -\overbrace{G(m_1 + m_2)}^{\mu} \frac{\mathbf{r}}{r^3} \\ \ddot{\mathbf{r}} + \mu \frac{\mathbf{r}}{r^3} &= 0 \end{aligned} \quad (8)$$

⁶ A vůbec nezáleží na tom, že $F_G \propto \frac{1}{r^2}$; stačí, že síly jsou stejně velké a opačného směru.

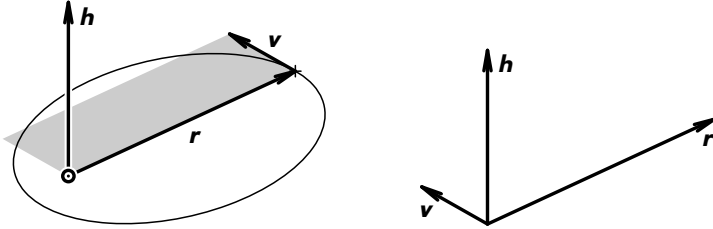
Další integrály pohybu najdeme vektorovým násobením této rovnice \mathbf{r} :

$$0 = \ddot{\mathbf{r}} \times \mathbf{r} + \frac{\mu}{r^3} \overbrace{\mathbf{r} \times \mathbf{r}}^{\mathbf{0}} = \ddot{\mathbf{r}} \times \mathbf{r},$$

protože vektorový součin rovnoběžných vektorů je vždy $\mathbf{0}$. Neurčitý integrál je:

$$\mathbf{r} \times \dot{\mathbf{r}} = \mathbf{h} = \text{konst.} \quad (9)$$

neb $(\mathbf{r} \times \dot{\mathbf{r}} - \mathbf{h})' = \overbrace{\dot{\mathbf{r}} \times \dot{\mathbf{r}} + \mathbf{r} \times \ddot{\mathbf{r}} - \mathbf{0}}^{\mathbf{0}} = \mathbf{0}$; \mathbf{h} je „něco jako“ moment hybnosti⁷ na jednotku hmotnosti μ . Jinými slovy to znamená, že pohyb probíhá v rovině a plošná rychlost se zachovává (obr. 4), což je přesně **2. Keplerův zákon**.⁸
□



Obr. 4 — Vektory \mathbf{r} , \mathbf{v} a $\mathbf{h} = \mathbf{r} \times \mathbf{v}$ (plošná rychlost).

Přechod do polárních souřadnic v rovině. Souřadnicovou soustavu přirozeně orientujeme tak, že rovina xy je kolmá na \mathbf{h} , dosadíme⁹ za $\mathbf{r} = r\hat{r}$, $\ddot{\mathbf{r}} = (\ddot{r} - r\dot{\phi}^2)\hat{r} + \left[\frac{1}{r}\frac{d}{dt}(r^2\dot{\phi})\right]\hat{\phi}$ do vektorové rovnice (8) a obdržíme skalární rovnici (příslušnou složce \hat{r}):

$$\ddot{r} - r\dot{\phi}^2 = -\frac{\mu}{r^2}, \quad (10)$$

⁷ Rozhodně to *není* celkový moment \mathbf{L} hybnosti v inerciální soustavě, $\mathbf{L} = \mathbf{r}_1 \times m_1\dot{\mathbf{r}}_1 + \mathbf{r}_2 \times m_2\dot{\mathbf{r}}_2$; v \mathbf{h} jsou přítom vektorové součiny „pomíchané“: $\mathbf{h} = (\mathbf{r}_1 - \mathbf{r}_2) \times (\dot{\mathbf{r}}_2 - \dot{\mathbf{r}}_1) = \mathbf{r}_1 \times \dot{\mathbf{r}}_2 - \mathbf{r}_1 \times \dot{\mathbf{r}}_1 + \dots$

⁸ Opět nevyžaduje $F_G \propto \frac{1}{r^2}$, \mathbf{F}_G pouze musí směřovat podél spojnice těles.

⁹ Ověření vztahu pro 2. derivaci v polárních souřadnicích je snadné: báze vektory $\hat{r} = (\cos \phi, \sin \phi)$, $\hat{\phi} = (-\sin \phi, \cos \phi)$; $\dot{\hat{r}} = (-\sin \phi, \cos \phi)\dot{\phi} = \dot{\phi}\hat{\phi}$, $\dot{\hat{\phi}} = -\dot{\phi}\hat{r}$; $\mathbf{r} = r\hat{r}$, $\dot{\mathbf{r}} = \dot{r}\hat{r} + r\dot{\hat{r}} = \dot{r}\hat{r} + r\dot{\phi}\hat{\phi}$, $\ddot{\mathbf{r}} = \ddot{r}\hat{r} + \dot{r}\dot{\hat{r}} + \dot{r}\dot{\phi}\hat{\phi} + r\ddot{\phi}\hat{\phi} + r\dot{\phi}(-\dot{\hat{r}}) = (\ddot{r} - r\dot{\phi}^2)\hat{r} + (2\dot{r}\dot{\phi} + r\ddot{\phi})\hat{\phi} = (\ddot{r} - r\dot{\phi}^2)\hat{r} + \left[\frac{1}{r}\frac{d}{dt}(r^2\dot{\phi})\right]\hat{\phi}$.

Rovnice $\frac{1}{r}\frac{d}{dt}(r^2\dot{\phi}) = 0$ pro složku $\hat{\phi}$ je naštěstí splněna automaticky, protože to je vlastně vyjádření integrálu \mathbf{h} v polárních souřadnicích:

$$\mathbf{h} = \mathbf{r} \times \dot{\mathbf{r}} = r\hat{r} \times (\dot{r}\hat{r} + r\dot{\phi}\hat{\phi}) = r^2\dot{\phi}\hat{z} \quad (11)$$

a velikost tohoto vektoru je evidentně:

$$h = r^2\dot{\phi} = \text{konst.} \quad (12)$$

Jak ale řešit rovnici (10) pro dvě neznámé funkce času $r(t)$, $\phi(t)$?

0.1.5 Eliminace času a odvození tvaru trajektorie

Úplnou eliminaci času t zajistíme pomocí substituce $u = \frac{1}{r}$ a integrálu h . Do rovnice (10) musíme dosadit jednak za $r = \frac{1}{u}$, a jednak za druhou derivaci \ddot{r} podle času. Nejprve spočteme první:

$$\dot{r} = -\frac{1}{u^2} \frac{du}{dt} = -\frac{1}{u^2} \frac{du}{d\phi} \frac{d\phi}{dt} = h \frac{du}{d\phi}; \quad (13)$$

$\equiv \dot{\phi} = \frac{h}{r^2} = hu^2$

zde jsme elegantně derivovali složenou funkci $u(\phi(t))$ a využili integrál h (12). Druhá je:

$$\ddot{r} = -h \frac{d^2u}{d\phi^2} \dot{\phi} = -h^2u^2 \frac{d^2u}{d\phi^2}. \quad (14)$$

Vyjde $-h^2u^2 \frac{d^2u}{d\phi^2} - \frac{1}{u}h^2u^4 = -\mu u^2$ a po krácení:

$$\frac{d^2u}{d\phi^2} + u = \frac{\mu}{h^2}, \quad (15)$$

tj. *obyčejná* lineární diferenciální rovnice 2. řádu pro funkci $u(\phi)$. Její obecné řešení „uhádneme“:¹⁰

$$u = \frac{\mu}{h^2} [1 + e \cos(\phi - \varpi)], \quad (16)$$

kde máme dvě integrační konstanty: e , ϖ ¹¹, plus onen předchozí integrál h a hmotnost μ , které dohromady definují jeden parametr p :

$$p = \frac{h^2}{\mu}. \quad (17)$$

¹⁰ Můžeme se přesvědčit jeho derivováním $\frac{du}{d\phi} = -\frac{\mu}{h^2}e \sin(\phi - \varpi)$, $\frac{d^2u}{d\phi^2} = -\frac{\mu}{h^2}e \cos(\phi - \varpi)$, že rovnici (15) opravdu splňuje, a bez důkazu „věříme“, že neexistuje nějaké jiné řešení.

¹¹ ϖ je zvláštní tvar řeckého písmene π , nikoli ω ; v \TeX se píše $\backslash\varpi$.

0.1.6 Řešení — rovnice kuželosečky

Zpětná substituce dává funkci $r(\phi)$:

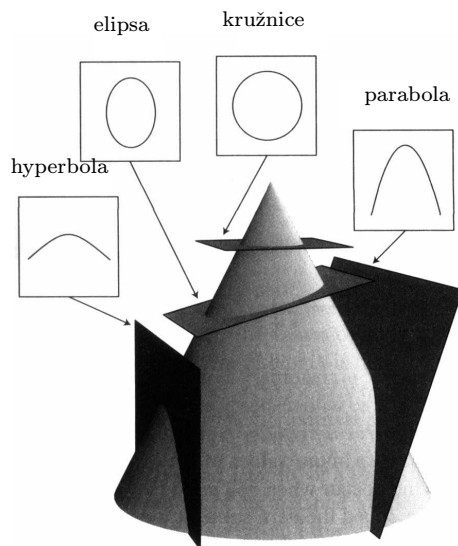
$$r = \frac{p}{1 + e \cos(\phi - \varpi)}, \quad (18)$$

což je *obecná rovnice kuželosečky* s ohniskem v počátku (tělese 1; 2. ohnisko je prázdné), neboli **1. Keplerův zákon**. \square

Konstanty nazýváme e *excentricita*, ϖ délka pericentra, p parametr, protože mají přesně takový geometrický význam. Můžeme rozlišit čtyři případy (obr. 5):

kružnice	$e = 0$	$p = a$
elipsa	$0 < e < 1$	$p = a(1 - e^2)$
parabola	$e = 1$	$p = 2q$
hyperbola	$e > 1$	$p = a(e^2 - 1)$

kde a označuje *velkou poloosu* a q vzdálenost pericentra od ohniska.



Obr. 5 — Řezy kužele rovinami a příslušné kuželosečky. Převzato z [85].

Polární souřadnice ϕ je zvána *pravá délka* (měřená od osy x); často užíváme *pravou anomálii* f :

$$f = \phi - \varpi, \quad (19)$$

měřenou od pericentra. Potom pro elipsu je

$$r = \frac{a(1 - e^2)}{1 + e \cos f}. \quad (20)$$

Pro pravoúhlé souřadnice pak pochopitelně platí:

$$x = r \cos \phi, \quad y = r \sin \phi.$$

Užitečná je znalost vztahů pro vzdálenosti pericentra q a apocentra Q od ohniska:

$$q = a(1 - e), \quad (21)$$

$$Q = a(1 + e), \quad (22)$$

a také integrálu h vyjádřeného v orbitálních elementech:

$$h = \sqrt{p\mu} = \sqrt{a(1 - e^2)\mu}; \quad (23)$$

obojí plyne z geometrie elipsy.

0.1.7 Třetí Keplerův zákon

Jaký je vztah mezi periodou oběhu a rozměrem dráhy? Plocha A elipsy opsaná za celou orbitální periodu je:

$$A = \pi ab = \pi a^2 \sqrt{1 - e^2} = \frac{1}{2} r^2 \dot{\phi} T = h \frac{T}{2} = \sqrt{a(1 - e^2)\mu} \frac{T}{2},$$

odtud:

$$\frac{a^3}{T^2} = \frac{G(m_1 + m_2)}{4\pi^2}, \quad (24)$$

čili **3. Keplerův zákon** v přesném znění. \square

Připomeňme, že Kepler ho neznal přesně (protože $m_2 \ll m_1$). Další užitečné tvary zákona mohou být:

$$n^2 a^3 = \mu, \quad (25)$$

kde $n = \frac{2\pi}{T}$ je *střední pohyb* (úhlová frekvence oběhu); nebo

$$\frac{[a]_{\text{AU}}^3}{[T]_{\text{rok}}^2} \doteq [M]_{M_\odot} = 1, \quad (26)$$

kterážto jednička platí v naší sluneční soustavě.

Keplerovy zákony tedy máme odvozené. Na to, abychom znali závislosti souřadnic a rychlostí na čase, bychom ale museli ještě chvíli počítat. . .

0.1.8 Rychlost v dráze (1 integrál energie)

Ještě existuje desátý integrál pohybu, který nám umožní snadno určovat velikost rychlosti v dráze (zatím znám jen $r(\phi)$ a 2. KZ). Rovnici relativního pohybu (8) $\ddot{\mathbf{r}} + \mu \frac{\mathbf{r}}{r^3} = \mathbf{0}$ násobíme skalárně rychlostí $\dot{\mathbf{r}}$:¹²

$$\ddot{\mathbf{r}} \cdot \dot{\mathbf{r}} + \mu \frac{\dot{r}}{r^2} = \mathbf{0},$$

první neurčitý integrál je:¹³

$$\frac{1}{2}v^2 - \frac{\mu}{r} = C, \quad (27)$$

kde C je integrační konstanta.

Kolik je C ? Nahlédnout to lze snadno ze dvou limitních případů: pro kruhové dráhy, kdy $e \rightarrow 0$, $r \rightarrow a$, platí jednoduchoučký vztah pro rychlost $v^2 = \frac{\mu}{r}$. Zároveň ale musí být $v^2 = 2(C + \frac{\mu}{r})$, takže $C = -\frac{\mu}{2r}$ anebo $C = -\frac{\mu}{2a}$. Druhý limitní případ je volný pád, neboli $e \rightarrow 1$, elipsa je vlastně úsečkou, v apocentru je $r = 2a$ a dle 2. KZ $v = 0$, takže vychází:

$$C = -\frac{\mu}{2a}$$

a po dosazení:

$$v^2 = \mu \left(\frac{2}{r} - \frac{1}{a} \right). \quad (28)$$

Tomuto vztahu říkáme integrál „živé síly“ (ZZE na jednotku hmotnosti).

Maximální rychlost je v pericentru, kde $r = q = a(1 - e)$:

$$v_p^2 = \mu \left(\frac{2}{a(1-e)} - \frac{1}{a} \right) = \frac{\mu}{a} \frac{2 - (1-e)}{1-e} = n^2 a^2 \frac{1+e}{1-e},$$

$$v_p = na \sqrt{\frac{1+e}{1-e}}, \quad (29)$$

minimální v apocentru, při $r = Q = a(1 + e)$:

$$v_a = na \sqrt{\frac{1-e}{1+e}}. \quad (30)$$

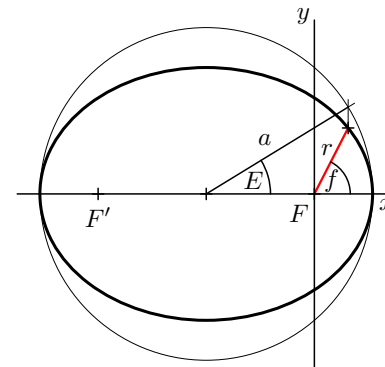
¹² Protože $\mathbf{r} = r\hat{r}$, $\dot{\mathbf{r}} = \dot{r}\hat{r} + r\dot{\phi}\hat{\phi}$ a $\hat{r} \cdot \hat{\phi} = 0$, je $\frac{\mathbf{r}}{r^3} \cdot \dot{\mathbf{r}} = \frac{r\dot{r}\hat{r}}{r^3} + \frac{r\hat{r} \cdot r\dot{\phi}\hat{\phi}}{r^3} = \frac{\dot{r}}{r^2}$.

¹³ Protože $v^2 = \dot{\mathbf{r}} \cdot \dot{\mathbf{r}}$ a $(\dot{\mathbf{r}} \cdot \dot{\mathbf{r}})' = 2\dot{\mathbf{r}} \cdot \ddot{\mathbf{r}}$.

0.1.9 Keplerova rovnice

Jaký je vztah mezi pravou anomálií f a časem t ? Zjistíme to oklikou:

1. najdeme vztah mezi *pravou* anomálií f a *excentrickou* anomálií E (viz obr. 6);
2. najdeme vztah mezi E a *střední* anomálií $M = n(t - \tau)$, kde τ označuje okamžik průchodu pericentrem. Pozor! M nemá jednoduchou geometrickou reprezentaci (nelze ji nakreslit do obrázku).



Obr. 6 — Elipsa, opsaná kružnice, pravá anomálie f a excentrická anomálie E . Body F a F' označují ohniska elipsy.

Ad 1. Z geometrie elipsy (obr. 6) hned vidíme, že kartézské souřadnice:

$$x = a \cos E - ae = r \cos f, \quad (31)$$

$$y = a\sqrt{1-e^2} \sin E = r \sin f. \quad (32)$$

Pak:

$$r = \sqrt{x^2 + y^2} = \sqrt{a^2 \cos^2 E - 2a^2 e \cos E + a^2 e^2 + a^2(1-e^2) \sin^2 E}$$

$$= a\sqrt{1 - 2e \cos E + e^2(1 - \sin^2 E)} = a(1 - e \cos E). \quad (33)$$

Protože $\cos f = \frac{x}{r} = \frac{\cos E - e}{1 - e \cos E}$, plyne odtud:¹⁴

$$\operatorname{tg} \frac{f}{2} = \sqrt{\frac{1+e}{1-e}} \operatorname{tg} \frac{E}{2}. \quad (34)$$

¹⁴ Využijeme vztahů pro poloviční úhel: $\sin^2 \frac{f}{2} = \frac{1 - \cos f}{2}$, $\cos^2 \frac{f}{2} = \frac{1 + \cos f}{2}$ a vypočteme $1 - \cos f = \frac{1 - e \cos E - \cos E + e}{1 - e \cos E} = \frac{(1+e)(1 - \cos E)}{1 - e \cos E}$, $1 + \cos f = \frac{(1-e)(1 + \cos E)}{1 - e \cos E}$.

Ad 2. Napišeme časové derivace souřadnic (x, y) (viz (31), (32)):

$$\begin{aligned}\dot{x} &= -a \sin E \dot{E} \\ \dot{y} &= a\sqrt{1-e^2} \cos E \dot{E}\end{aligned}$$

a využijeme „asi posté“ integrálu h (12):

$$\begin{aligned}h &= na^2\sqrt{1-e^2} = |\mathbf{r} \times \dot{\mathbf{r}}| = |(x, y, 0) \times (\dot{x}, \dot{y}, 0)| = |(0, 0, x\dot{y} - y\dot{x})| \\ &= a(\cos E - e)a\sqrt{1-e^2} \cos E \dot{E} + a^2\sqrt{1-e^2} \sin^2 E \dot{E},\end{aligned}$$

odkud dostaneme diferenciální rovnici pro funkci $E(t)$:

$$\dot{E} = \frac{n}{1 - e \cos E}, \quad (35)$$

neboli:

$$dE(1 - e \cos E) = n dt,$$

jejíž neurčitý integrál je:

$$E - e \sin E = nt + C.$$

Okrajová podmínka pro $E = 0$ je $t = \tau$, tudíž $C = -n\tau$ a

$$M = E - e \sin E, \quad (36)$$

což je *Keplerova rovnice*. Bohužel je *transcendentní* — neznáme algebraické vyjádření $E(M)$. Jak ji tedy vyřešit?! Pro výpočet E z M můžeme použít některý z následujících postupů:

1. numericky, iterační metodou:

$$E_{i+1} = M + e \sin E_i, \quad E_0 = M, \quad (37)$$

$E_1 = M + e \sin M$, $E_2 = M + e \sin E_1$, ..., dokud $|E_{i+1} - E_i| >$ nějaké malé ϵ . Lepší počáteční odhad může být $E_0 = M + \operatorname{sgn}(\sin M) ke$, kde $k \in (0, 1]$, např. $k = 0,85$.

2. Newtonovou–Raphsonovou metodou (tj. obecná numerická metoda pro hledání kořenů funkce $f(x) = 0$, viz obr. 7):

$$f(E) = E - e \sin E - M,$$

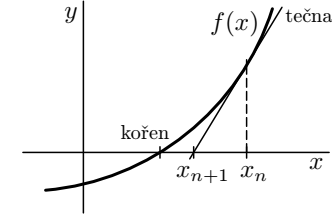
hledáme tedy $f(E) = 0$ postupnými iteracemi

$$E_{i+1} = E_i - \frac{f(E_i)}{f'(E_i)}, \quad (38)$$

kde

$$f'(E) = 1 + e \cos E$$

je derivace $f(E)$ podle E .



Obr. 7 — Schéma jedné iterace Newtonovy–Raphsonovy metody.

3. analyticky, Fourierovým rozvojem.

Vydeme z 1. iterační metody a použijeme součtový vzorec $\sin(\alpha + \beta) = \sin \alpha \cos \beta + \cos \alpha \sin \beta$ a Taylorovy rozvoje goniometrických funkcí $\sin x = x - \frac{1}{6}x^3 + o(x^5)$, $\cos x = 1 - \frac{1}{2}x^2 + o(x^4)$:

$$\begin{aligned}E_1 &= M + e \sin M, \\ E_2 &= M + e \sin(M + e \sin M) \\ &\simeq M + e \sin M \overbrace{\cos(e \sin M)}^{\doteq 1} + e \cos M \overbrace{\sin(e \sin M)}^{\doteq e \sin M} \\ &\simeq M + e \sin M + \frac{1}{2}e^2 \sin 2M, \\ E_3 &= M + e \sin(M + e \sin M + \frac{1}{2}e^2 \sin 2M) \\ &\simeq M + \left(e - \frac{1}{8}e^3\right) \sin M + \frac{1}{2}e^2 \sin 2M + \frac{3}{8}e^3 \sin 3M.\end{aligned}$$

Podle prvních třech členů vidíme, že jde o nekonečnou Fourierovu řadu:

$$E - M = \sum_{s=1}^{\infty} b_s(e) \sin sM, \quad (39)$$

přičemž lze dokázat, že její koeficienty

$$b_s(e) = \frac{2}{s} J_s(se)$$

jsou Besselovými funkcemi 1. druhu:

$$J_s(se) = \frac{1}{\pi} \int_0^\infty \cos(sE - se \sin E) dE.$$

Pozor! Řada konverguje pouze do určitého maximálního $e \doteq 0,66$. Obdobné řady, nazývané *eliptické rozvoje*, lze odvodit i pro jiné funkce, nejen $E - M$, ale i pro, $\sin f$, $\cos f$, $\frac{r}{a}$, ... Mají spoustu aplikací zejména v poruchovém počtu (viz kap. ??).

0.1.10 Některé aplikace Keplerových zákonů

Třetí Keplerův zákon nám například umožňuje vypočítat *poměry vzdáleností* těles sluneční soustavy podle jejich snadno měřitelných oběžných dob:

$$\left(\frac{a_1}{a_2}\right)^3 \doteq \left(\frac{T_1}{T_2}\right)^2.$$

Samotný Keplerův zákon nám neumožňuje snadno určovat *hmotnosti planetek*, které jsou mnohem menší než hmotnost Slunce, ale pro planetku *s malým satelitem* můžeme napsat Keplerovy zákony dva:

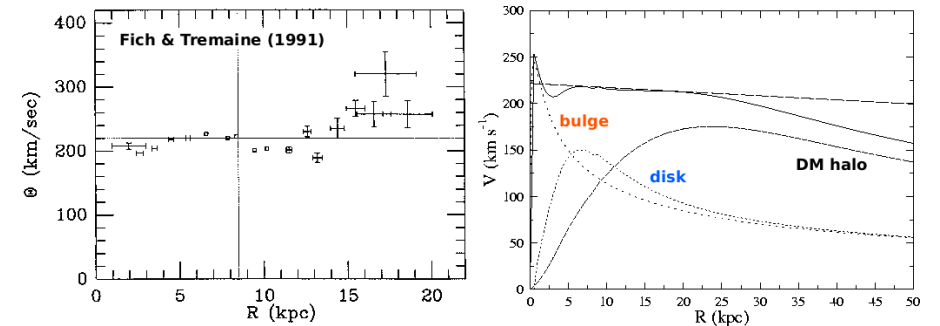
$$\frac{a^3}{T^2} = \frac{G(m_\odot + m_{\text{planetky}} + m_{\text{satelitu}})}{4\pi^2} \quad (\text{ve sluneční soustavě}),$$

$$\frac{a'^3}{T'^2} = \frac{G(m_{\text{planetky}} + m_{\text{satelitu}})}{4\pi^2} \quad (\text{v systému planetka-satelit})$$

a z nich při zanedbání planetky vůči Slunci a satelitu vůči planetce odvodit poměr:

$$\left(\frac{a}{a'}\right)^3 \left(\frac{T'}{T}\right)^2 = \frac{m_\odot + m_p + m_s}{m_p + m_s} \simeq \frac{m_\odot}{m_p}. \quad (40)$$

Vztah pro oběžnou kruhovou rychlost $v \propto \frac{1}{\sqrt{r}}$ jsme již zmiňovali. Porovnejme tuto závislost *s rotační křivkou* naší Galaxie, která je známá z měření dopplerovských posuvů rádiového záření na vlnové délce 21 cm a je *plochá* (obr. 8). Je evidentní, že hmota naší Galaxie není všechna soustředěná v centru (to by musela v klesat jako $\frac{1}{\sqrt{r}}$, nikoli být konstantní). Podle oběžných rychlostí oblaků na periferii Galaxie dokonce můžeme usuzovat na existenci temné hmoty, která se projevuje velkou gravitační přitažlivostí.



Obr. 8 — Měřená rotační křivka pro naši Galaxii. Vpravo je model rotační křivky, s rozlišením jednotlivých příspěvků od výdutě, disku a hala temné hmoty. Převzato z Fich a Tremaine (1991).

Hmotnost neznámého kompaktního objektu lze vypočítat, pokud okolo něj obíhá alespoň jedna hvězda, pro kterou změříme úhlový rozměr dráhy, oběžnou dobu a vzdálenost od Země. Například okolo *centrální černé díry* v naší Galaxii obíhá hvězdička S2: $\alpha = 0,12''$, $T = 15,2$ roku, $r = 26\,000$ sv. r., tedy $a = r \tan \alpha \doteq 930$ AU. Hmotnost černé díry pak vychází:

$$[M_{\text{BH}}]_{M_\odot} \doteq \frac{[a]_{\text{AU}}^3}{[T]_{\text{rok}}^2} \doteq \frac{930^3}{15,2^2} \doteq 3,5 \cdot 10^6,$$

čili o šest řádů větší než hmotnost Slunce a o šest řádů menší než hmotnost celé Galaxie.

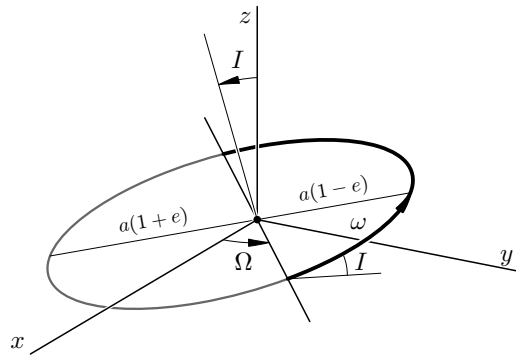
0.1.11 Výpočet efemeridy planetky

Vztahy, které jsme odvodili v problému dvou těles, lze použít pro výpočet přibližné krátkodobé efemeridy planetky, pro kterou známe orbitální elementy a , e , M . Stačí pro daný časový okamžik t vyřešit Keplerovu rovnici (zjistit E) a vypočítat kartézské souřadnice X , Y v rovině dráhy.

Abychom mohli vyjádřit polohu planetky i v libovolné jiné souřadnicové soustavě, zavádějí se následující úhly popisující *orientaci dráhy v prostoru* (heliocentrické ekliptikální soustavě): ω argument pericentra, I sklon dráhy a Ω délka¹⁵ výstupného uzlu. Stačí aplikovat sérii matic rotace (obr. 9):

$$(x, y, z)_{\text{ekliptikální}} = \mathbf{R}_z(\Omega) \mathbf{R}_x(I) \mathbf{R}_z(\omega) (X, Y, 0)_{\text{v dráze}}. \quad (41)$$

¹⁵ Obecně se „délky“ (Ω , ϖ , ϕ) počítají od nějakého fixního směru v prostoru (např. jarního bodu), kdežto „anomálie“ (f , E) se počítají od pericentra.



Obr. 9 — Orientace eliptické dráhy v prostoru definovaná úhly ω , I , Ω .

Takovou efemeridu však nelze použít na delší časové škále, protože na planetku kromě Slunce působí i planety. Nicméně podle naprosto stejných vztahů lze z výsledků numerických N -částicových integrací (kartézských souřadnic a rychlostí) vypočítávat keplerovské *oskulační elementy* dráhy (a , e , i , ω , Ω , M), na které se jistě kouká lépe než na x , y , z , v_x , v_y , v_z .

Literatura

Učebnice

- [1] BEATTY, J. K., PETERSEN, C. C., CHAIKIN, A.: *The New Solar System*. Cambridge: Cambridge University Press, 1999. ISBN 0521369657.
- [2] BERTOTTI, B., FARINELLA, P., VOKROUHLICKÝ, D.: *Physics of the Solar System*. Dordrecht: Kluwer Academic Publishers, 2003. ISBN 1402014287.
- [3] DE PATER, I., LISSAUER, J. J.: *Planetary Sciences*. Cambridge: Cambridge University Press, 2001. ISBN 0521482194.

Reference

- [4] ALVAREZ, L. W., ALVAREZ, W., ASARO, F., MICHEL, H. V.: *Extraterrestrial cause for the Cretaceous Tertiary extinction*. *Science*, **208**, s. 1095, 1980.
- [5] ARTEMIEVA, N., PIERAZZO, E., STÖEFFLER, D.: *Numerical modeling of tektite origin in oblique impacts: Implications to Ries-Moldavites strewn field*. *Bull. of the Czech Geological Survey*, **77**, 4, s. 303–311, 2002.
- [6] BERNARD, J. H., ROST, R. aj.: *Encyklopedický přehled minerálů*. Praha: Academia, 1992.
- [7] BOČEK, M.: *Petrologické složení povrchu a kůry Měsíce. Povětroň*, **14**, S1, 3, 2006.
- [8] BOTTKÉ, W. F., CELLINO, A., PAOLICCHI, P., BINZEL, R. P. (editoři): *Asteroids III*. Tuscon: The University of Arizona Press, 2002. ISBN 0816522812.
- [9] BOTTKÉ, W. F., RUBINCAM, D. P., BURNS, J. A.: *Dynamical evolution of main belt meteoroids: Numerical simulations incorporating planetary perturbations and Yarkovsky thermal forces*. *Icarus*, **145**, s. 301–331, 2000.
- [10] BOTTKÉ, W. F., VOKROUHLICKÝ, D., NESVORNÝ, D.: *An asteroid breakup 160 Myr ago as the probable source of the K/T impactor*. *Nature*, **449**, 7158, s. 48–53.
- [11] BOTTKÉ, W. F. aj.: *Debiased orbital and absolute magnitude distribution of the near-Earth objects*. *Icarus*, **156**, 2, s. 399–433, 2002.
- [12] BOWELL, T.: *AstOrb* [online]. [cit. 2008-09-30]. <ftp://ftp.lowell.edu/pub/elgb/astorb.html>.
- [13] BROŽ, M.: *Impaktní kráter Steinheim*. Povětroň S1/2003, s. 3–10.
- [14] BROŽ, M.: *Impaktní krátery (2) — Ries*. Povětroň 5/2001, s. 6–13.
- [15] BROŽ, M.: *Yarkovsky Effect and the Dynamics of the Solar System*. Dizertační práce, Karlova univerzita, Praha, 2006.
- [16] BROŽ, M.: *Yarko-site* [online]. [cit. 2008-09-30]. <http://sirrah.troja.mff.cuni.cz/yarko-site/>.
- [17] BROŽ, M. aj.: *Planetární stezka v Hradci Králové* [online]. [cit. 2008-12-10]. http://www.astrohk.cz/planetarni_stezka/.
- [18] BROŽ, M., NOSEK, M., TREBICHAŤSKÝ, J., PECINOVÁ, D. Editoři : *Sluneční hodiny na pevných stanovištích. Čechy, Morava, Slezsko a Slovensko*. Praha: Academia, 2004. ISBN 8020012044.
- [19] BRUNS, H., *Acta Math.*, **11**, s. 25, 1887.
- [20] BURBINE, T. H. aj.: *Meteoritic parent bodies: their number and identification*. in *Asteroids III*, W. F. Bottke Jr., A. Cellino, P. Paolich, a R. P. Binzel (eds), Tuscon: University of Arizona Press, 2002, s. 653–667.
- [21] BURNS, J. A., LAMY, P. L., SOTER, S.: *Radiation forces on small particles in the Solar System*. *Icarus*, **40**, s. 1–48, 1979.
- [22] BURNS, J. A., SAFRONOV, V. S.: *Asteroid nutation angles*. *Mon. Not. R. Astr. Soc.*, **165**, 403, 1973.
- [23] CALLIGAN, D. P., BAGGLEY, W. J.: *The radiant distribution of AMOR radar meteors*. *Mon. Not. R. Astron. Soc.*, **359**, s. 551–560, 2005.
- [24] CARROL, S. M.: *Lecture Notes on General Relativity* [online]. [cit. 2010-03-08]. <http://preposterousuniverse.com/grnotes/>.
- [25] ČEPLCHA, Z.: *Geometric, dynamic, orbital and photometric data on meteoroids from photographic fireball networks*. *Bull. Astron. Inst. Czechosl.*, **38**, s. 222–234, 1987.
- [26] ČEPLCHA, Z. aj.: *Meteor phenomena and bolides*. *Space Science Reviews*, **84**, s. 327–471, 1998.
- [27] *Cryovolcanism and Geologic Analogies* [online]. [cit. 2009-04-30]. <http://mivo-sys.tripod.com/cryo.html>.
- [28] ČAPEK, D., VOKROUHLICKÝ, D.: *The YORP effect with finite thermal conductivity*. *Icarus*, **172**, s. 526–536, 2004.
- [29] *Earthquakes* [online]. [cit. 2010-03-01]. <http://pubs.usgs.gov/gip/earthq1/plate.html>.
- [30] FARINELLA, P., VOKROUHLICKÝ, D., HARTMANN, W. K.: *Meteorite delivery via Yarkovsky orbital drift*. *Icarus*, **132**, s. 378–387, 1998.
- [31] FERNÁNDEZ, J. A.: *Comets. Nature, dynamics, origin and their cosmogonical relevance*. Dordrecht: Springer, 2005.
- [32] FESTOU, M. C., KELLER, H. U., WEAVER, H. A. (ed.): *Comets II*. Tuscon: The University of Arizona Press, 2004.
- [33] FOUKAL, P. V.: *Solar Astrophysics*. Weinheim: Wiley-VCH, 2004. ISBN 3527403744.
- [34] FRANKEL, C.: *Volcanoes of the Solar System*. Cambridge: Cambridge Univ. Press, 1996. ISBN 0521477700.
- [35] GABZDYL, P.: *Prohlídka Měsíce* [online]. [cit. 2009-02-05]. <http://www.moon.astronomy.cz/>.
- [36] *Geologischer Wanderweg im Steinheimer Becken* [online]. [cit. 2003-1-1]. <http://www.pg.aa.bw.schule.de/aktiv/geoproj/sbecken/wanderfr.htm>
- [37] GRADY, M. M.: *Catalogue of meteorites*. Cambridge: Cambridge University Press, 2000. ISBN 0521663032.
- [38] *Gravity Probe B* [online]. [cit. 2010-04-01]. <http://einstein.stanford.edu/>.
- [39] GROSCHOFF, P., REIFF, W.: *Der geologische Wanderweg im Steinheimer Becken*. Steinheim am Albuch, 1993.
- [40] GÜDEL, M.: *The Sun in time: activity and environment* [online]. [cit. 2010-01-26]. *Living Rev. Solar Phys.*, **4**, 2007.
- [41] HACAR, B.: *Mechanika sluneční soustavy*. Praha: Jednota československých matematiků a fyziků, 1948.
- [42] *Hadley cell*. *Encyclopedia Britannica* [online]. [cit. 2010-02-24]. <http://www.britannica.com/EBchecked/topic/251175/Hadley-cell>.
- [43] HAGIHARA, Y.: *Celestial Mechanics I*. Cambridge: MIT Press, 1970.
- [44] HALODA, J.: *Meteority a jejich význam pro studium procesů vzniku a vývoje těles sluneční soustavy* [online]. [cit. 2009-01-29]. <http://astro.mff.cuni.cz/vyuka/AST021/index.html>.
- [45] HAMILTON, A.: *Falling into a black hole* [online]. [cit. 2010-03-17]. <http://casa.colorado.edu/~ajsh/schw.shtml>.

- [46] HARMANEC, P., BROŽ, M.: *Stauba a vývoj hvězd* [online]. [cit. 2010-01-26]. <http://sirrah.troja.mff.cuni.cz/~mira/astrofyzika2/>, 2010.
- [47] HIRAYAMA, K.: *Groups of asteroids probably of common origin*. *Astron. J.*, **31**, 743, s. 185–188, 1918.
- [48] HOLMES, N.: *‘Shocking’ gas-gun experiments* [online]. [cit. 2008-11-13]. <https://www.llnl.gov/str/Holmes.html>.
- [49] HOLSAPPLE, K. aj.: *Asteroid spin data: no evidence of rubble-pile structures*. 36th Lunar and Planetary Science Conference, League City, Texas, 2005.
- [50] HORSKÝ, J., NOVOTNÝ, J., ŠTEFANÍK, M.: *Mechanika ve fyzice*. Praha: Academia, 2001. ISBN 8020002081.
- [51] HOWE, R.: *Solar internal rotation and its variation* [online]. [cit. 2010-01-26]. *Living Rev. Solar Phys.*, **6**, 2009.
- [52] HUTCHISON, R.: *Meteorites: A Petrologic, Chemical and Isotopic Synthesis*. Cambridge: Cambridge University Press, 2006. ISBN 0521035392.
- [53] CHANDRASEKHAR, S.: *The Mathematical Theory of Black Holes*. New York: Oxford University Press, 1998. ISBN 0198503709.
- [54] CHARBONNEAU, P.: *Dynamo models of the solar cycle* [online]. [cit. 2010-01-26]. *Living Rev. Solar Phys.*, **2**, 2005.
- [55] CHESLEY, S. R., aj.: *Direct detection of the Yarkovsky effect by radar ranging to asteroid 6489 Golevka*. *Science*, **302**, s. 1739–1742, 2003.
- [56] CHLUPÁČ, I. aj.: *Geologická minulost České republiky*. Praha: Academia, 2002.
- [57] CHRISTENSEN-DALSGAARD, J.: *Stellar Oscillations* [online]. [cit. 2010-01-26]. <http://www.eneas.info/>. 2003.
- [58] *International Earth Rotation and Reference Systems Service* [online]. [cit. 2008-11-13]. <http://www.iers.org/>.
- [59] IVEZIĆ, Ž. aj.: *Solar System objects observed in the Sloan Digital Sky Survey commissioning data*. *Astron. J.*, **122**, 5, s. 2749–2784, 2001.
- [60] JENNISKENS, P.: *Meteor showers and their parent comets*. Cambridge: Cambridge University Press, 2006. ISBN 0521853491.
- [61] JOHANSENN, A. aj.: *Rapid planetesimal formation in turbulent circumstellar disks*. *Nature*, **448**, 7157, s. 1022–1025, 2007.
- [62] JOHNSON, C.: *Precession of a gyroscope and precession of the Earth’s axis* [online]. [cit. 2008-09-10]. <http://www.mb-soft.com/public/precess.html>.
- [63] *JPL Horizons system* [online]. [cit. 2008-09-30]. <http://ssd.jpl.nasa.gov/?horizons>.
- [64] *JPL planetary and lunar ephemerides, DE405* [online]. [cit. 2008-09-30]. <ftp://ssd.jpl.nasa.gov/pub/eph/planets/>.
- [65] KAASALAINEN, M. aj.: *Acceleration of the rotation of asteroid 1862 Apollo by radiation torques*. *Nature*, **446**, 7134, s. 420–422, 2007.
- [66] KAVASCH, J.: *The Ries Meteorite Crater. A geological guide*. Donauwörth: Ludwig Auer GmbH, 1985.
- [67] KELLEY, M. S.: *Comet dust trails* [online]. [cit. 2009-01-31]. <http://www.physics.ucf.edu/~msk/projects/trails/>.
- [68] KENKMAN, T. aj.: *Structure and formation of a central uplift: A case study at the Upheaval Dome impact crater, Utah*. in *Large Meteorite Impacts III*, s. 85, 2003. ISBN 0813723841. <http://books.google.com/>.
- [69] KERR, R. P.: *Gravitational Field of a Spinning Mass as an Example of Algebraically Special Metrics*. *Phys. Rev. Lett.*, **11**, s. 237–238, 1963.
- [70] KOZAI, Y.: *Secular perturbations of asteroids with high inclination and eccentricity*. *Astron. J.*, **67**, 9, 591, 1962.
- [71] KRING, D. A., BAILEY, J.: *Terrestrial impact craters* [online]. [cit. 2008-11-13]. http://www.lpi.usra.edu/science/kring/epo_web/impact_cratering/World_Craters_web/intromap.html.
- [72] KRONK, G.: *Cometography* [online]. [cit. 2009-01-20]. <http://cometography.com/>.
- [73] LEVISON, H., DUNCAN, M.: *Swift* [online]. [cit. 2008-09-30]. <http://www.boulder.swri.edu/~hal/swift.html>.
- [74] MANNINGS, V. aj. (Ed.): *Protostars and planets IV*. Tuscon: The University of Arizona Press, 2000. ISBN 0816520593.
- [75] MARCAN, S.: *Phase diagram explanation* [online]. [cit. 2009-01-20]. <http://bhs.smuhsd.org/science-dept/marcan/>.
- [76] MCFADDEN, L.–A., WEISSMAN, P. R., JOHNSON, T. V. (Ed.): *Encyclopedia of the Solar System*. San Diego: Academic Press, 2007. ISBN 012088589.
- [77] MCSWEEN, H. Y.: *Meteorites and their parent planets*. Cambridge: Cambridge University Press, 1987.
- [78] *MIAC. Antarctic meteorites* [online]. [cit. 2009-01-28]. <http://miac.uqac.ca/MIAC/antarc.htm>.
- [79] MILANI, A., KNEŽEVIĆ, Z.: *Asteroid proper elements and the dynamical structure of the asteroid main belt*. *Icarus*, **107**, 2, s. 219–254, 1994.
- [80] *Minor planet & comet ephemeris service* [online]. [cit. 2008-09-30]. <http://www.cfa.harvard.edu/iau/MPEph/MPEph.html>.
- [81] MISNER, C. W., THORNE, K. S., WHEELER, J. A.: *Gravitation*. San Francisco: W. H. Freeman and Company, 1973. ISBN 0716703440.
- [82] MORBIDELLI, A., CRIDA, A., MASSET, F., NELSON, R. P.: *Building giant-planet cores at a planet trap*. *Astron. Astrophys.*, **478**, s. 929–937, 2008.
- [83] MORBIDELLI, A., LEVISON, H.: *Scenarios for the origin of the orbits of the trans-neptunian objects 2000 CR₁₀₅ and 2003 VB₁₂ (Sedna)*. *Astron. J.*, **128**, 2564, 2004.
- [84] MORBIDELLI, A. aj.: *Source regions and timescales for the delivery of water to Earth*. *Meteoritics & Planetary Science*, **35**, 6, s. 1309–1320, 2000.
- [85] MURRAY, C. D., DERMOTT, S. F.: *Solar System Dynamics*. Cambridge: Cambridge University Press, 1999.
- [86] *National Space Science Data Center* [online]. [cit. 2009-02-17]. <http://nssdc.gsfc.nasa.gov/>.
- [87] NESVORNÝ, D., MORBIDELLI, A.: *Three-body mean motion resonances and the chaotic structure of the asteroid belt*. *Astron. J.*, **116**, 3029, 1998.
- [88] NESVORNÝ, D., VOKROUHLICKÝ, D.: *Analytic theory of the YORP effect for near-spherical objects*. *Astron. J.*, **134**, 5, s. 1750–1768, 2007.
- [89] NESVORNÝ, D. aj.: *Evidence for asteroid space weathering from the Sloan Digital Sky Survey*. *Icarus*, **173**, 1, s. 132–152, 2005.
- [90] NORTON, O. R.: *The Cambridge Encyclopedia of Meteorites*. Cambridge: Cambridge University Press, 2002. ISBN 0521621437.
- [91] ÖPIK, E. J.: *Collision probability with the planets and the distribution of planetary matter*. *Proc. R. Irish Acad.*, **54**, s. 165–199, 1951.
- [92] OSTRO, S.J. aj.: *Radar imaging of binary near-Earth asteroid (66391) 1999 KW₄*. *Science*, **314**, 5803, s. 1276–1280, 2006.
- [93] PECINA, P., CEPLECHA, Z.: *New aspects of in single-body meteor physics.* *Bull. Astron. Inst. Czechosl.*, **34**, 102, 1983.
- [94] PECINA, P., NOVÁKOVÁ, D.: *Meteorický radar v Ondřejově. Povětroň*, **10**, 6, s. 4, 2002.

- [95] PECHALA, F., BEDNÁŘ, J.: *Příručka dynamické meteorologie*. Praha: Academia, 1991. ISBN 8020001980.
- [96] PETERSON, C.: *A source mechanism for meteorites controlled by the Yarkovsky effect*. *Icarus*, **29**, s. 91–111, 1976.
- [97] POKORNÝ, Z.: *Astronomické algoritmy pro kalkulátory*. Praha: Hvězdárna a planetárium hl. m. Prahy, 1988.
- [98] PÖSGES, G., SCHIEBER, M.: *The Ries Crater – Museum Nördlingen*. München: Dr. Friedrich Pfeil, 1997.
- [99] PRAVEC, P. aj.: *Two-period lightcurves of 1996 FG3, 1998 PG, and (5407) 1992 AX: One probable and two possible binary asteroids*. *Icarus*, **146**, 1, s. 190–203, 2000.
- [100] PRAVEC, P. aj.: *Ondřejov Asteroid Photometry Project* [online]. [cit. 2008-09-09]. (<http://www.asu.cas.cz/~ppravec/>).
- [101] PRESS, W. R., TEUKOLSKY, S. A., VETTERLING, W., FLANNERY, B.P.: *Numerical Recipes: The Art of Scientific Computing*. Cambridge: Cambridge University Press, 1997.
- [102] PŘÍHODA, P. aj.: *Hvězdářská ročenka 2008*. Praha: Hvězdárna a planetárium hl. m. Prahy, 2007. ISBN 9788086017471.
- [103] QUINN, T. R., TREMAINE, S., DUNCAN, M.: *A three million year integration of the earth's orbit*. *Astron. J.*, **101**, s. 2287–2305, 1991.
- [104] *Reduce* [online]. [cit. 2010-03-08]. (<http://www.reduce-algebra.com/>).
- [105] *Rieskrater–Museum Nördlingen* [online]. [cit. 2001-1-1]. (<http://www.iaag.geo.uni-muenchen.de/sammlung/Rieskrater/RieskraterMuseum.html>).
- [106] ROBERTSON, H. P.: *Dynamic effects of radiation in the Solar System*. *Mon. Not. R. Astr. Soc.*, **97**, 423, 1937.
- [107] RUBIN, A. E.: *Mineralogy of meteorite groups*. *Meteoritics and Planetary Science*, **32**, 231, 1997.
- [108] RUBINCAM, D. P.: *Polar wander on Triton and Pluto due to volatile migration*. *Icarus*, **163**, 2, s. 63–71, 2002.
- [109] RUSSEL, C. T. aj.: *Dawn mission and operations*. Asteroids, Comets, Meteors 2005, editoři Lazzaro, D., Ferraz-Mello, S., Fernandez, J. A., Cambridge: Cambridge University Press, 2006, s. 97–119.
- [110] SACKMANN, I. J., BOOTHROYD, A. I., KRAEMER, K. E.: *Our Sun. III. Present and future*. *Astrophys. J.*, **418**, s. 457–468, 1993.
- [111] SEIDELMAN, P. K. (editor): *Explanatory Supplement to the Astronomical Almanac*. U. S. Naval Observatory, Washington, 1992.
- [112] SEPKOSKI, J. J.: *Ten years in the library: New data confirm paleontological patterns*. *Paleobiology*, **19**, s. 43–51, 1993.
- [113] SKÁLA, L.: *Úvod do kvantové mechaniky*. Praha: Academia, 2005. ISBN 8020013164.
- [114] SKÁLA, R.: *Impact process: An important geological phenomenon*. *Acta Mus. Nat-Pragae*, Ser. B., Hist. Nat., **52**, s. 111–156, 1996.
- [115] SPURNÝ, P.: *Fotografické sledování bolidů ve střední Evropě*. *Corona Pragensis*, **2**, 2001, (<http://praha.astro.cz/crp/0101a.phtml>).
- [116] *Stardust, JPL, NASA* [online]. [cit. 2006-06-01]. (<http://stardust.jpl.nasa.gov>).
- [117] STAUDACHER, T. aj.: $^{40}\text{Ar}/^{39}\text{Ar}$ ages of rocks and glasses from the Noerdlinger Ries crater and the temperature history of impact breccias. *J. of Geophysics*, **51**, 1, s. 1–11, 1982.
- [118] STIX, M.: *The Sun. An Introduction*. Berlin: Springer-Verlag, 2002. ISBN 3540537961.
- [119] STUART, J. S.: *A Near-Earth asteroid population estimate from the LINEAR Survey*. *Science*, **294**, 5547, s. 1691–1693, 2001.
- [120] SUNDMAN, K. E.: *Memoire sur le probleme de trois corps*. *Acta Math.*, **36**, s. 105–179, 1912.
- [121] ŠEDIVÝ, P.: *Kapitoly ze speciální teorie relativity*. Hradec Králové: MAFY, 2003. ISBN 8086148653.
- [122] ŠIDLICHOVSKÝ, M., NESVORNÝ, D.: *Frequency modified Fourier transform and its applications to asteroids*. *Cel. Mech. Dyn. Astron.*, **65**, 1–2, s. 137–148, 1996.
- [123] TILLOTSON, J. H.: *Metallic equations of state for hypervelocity impact*. General Atomic Report GA-3216, 1962.
- [124] *The Ries/Steinheim impact crater field trip* [online]. [cit. 2001-1-1]. (<http://www-earthsciences.ucl.ac.uk/research/planetaryweb/field/knodle.htm>)
- [125] *The STScI Digitized Sky Survey* [online]. [cit. 2010-02-15]. (http://archive.stsci.edu/cgi-bin/dss_form).
- [126] TSIGANIS, K., GOMES, R., MORBIDELLI, A., LEVISON, H. F.: *Origin of the orbital architecture of the giant planets of the solar system*. *Nature*, **435**, s. 459, 2004.
- [127] TUČEK, K.: *Meteority a jejich výskyty v Československu*. Praha: Academia, 1981.
- [128] VERNAZZA, J. E., AVRETT, E. H., LOESER, R., *Astrophys. J. Suppl.*, **45**, 635, 1981.
- [129] VOKROUHLICKÝ, D.: *A complete linear model for the Yarkovsky thermal force on spherical asteroid fragments*. *Astron. Astrophys.*, **344**, s. 362–366, 1999.
- [130] VOKROUHLICKÝ, D., FARINELLA, P.: *Efficient delivery of meteorites to the Earth from a wide range of asteroid parent bodies*. *Nature*, **407**, 6804, 606, 2000.
- [131] VOKROUHLICKÝ, D., NESVORNÝ, D.: *Pairs of asteroids probably of a common origin*. *Astron. J.*, **136**, 1, s. 280–290, 2008.
- [132] VOKROUHLICKÝ, D., aj.: *Yarkovsky/YORP chronology of asteroid families*. *Icarus*, **182**, 1, s. 118–142, 2006.
- [133] WEIDENSCHILLING, S. J.: *Formation of Planetesimals and Accretion of the Terrestrial Planets*. *Space Science Reviews*, **92**, 1/2, s. 295–310, 2000.
- [134] *Wikipedia* [online]. [cit. 2008-04-10]. (<http://www.wikipedia.org/>).
- [135] WHIPPLE, F.: *A comet model. I. The acceleration of Comet Encke*. *Astrophys. J.*, **111**, s. 375–394, 1950.
- [136] WOLF, M. aj.: *Astronomická příručka*. Praha: Academia, 1992. ISBN 802000467X.
- [137] ZEĽDOVITCH, Ya. B. aj.: *Physics of shock waves and high-temperature hydrodynamic phenomena*. 1966. ISBN 0486420027. (<http://books.google.com>).
- [138] ZHONG, S., ZUBER, M. T.: *Degree-1 mantle convection and the crustal dichotomy on Mars*. *Earth and Planetary Science Letters*, **189**, s. 75–84, 2001.